

Взаимодействие встречных электромагнитных волн в поглощающей пластине, помещенной в волновод

© Э.А. Геворкян

Московский государственный университет экономики, статистики и информатики,
119501 Москва, Россия
e-mail: gevor_mesi@mail.ru

(Поступило в Редакцию 5 декабря 2011 г. В окончательной редакции 26 июня 2012 г.)

Рассмотрено взаимодействие двух встречных когерентных поперечных электрических и поперечных магнитных электромагнитных волн в поглощающей пластине в волноводе произвольного поперечного сечения. Предположено, что волны с различными начальными фазами падают на границы пластины с двух сторон. Получено аналитическое выражение интерференционного коэффициента прохождения по мощности. Выявлены некоторые физические особенности туннельной интерференции в пластине. Показано, что при определенном соотношении между начальными фазами и амплитудами встречных волн можно создать ситуацию, когда слева от пластины в волноводе присутствует поток электромагнитной энергии, а справа — отсутствует или наоборот.

Введение

Изучению взаимодействия двух встречных когерентных электромагнитных волн в плоскопараллельной поглощающей пластине в неограниченном пространстве в научной литературе посвящено немало теоретических и экспериментальных работ [1–7]. Ниже решается граничная задача отражения и прохождения двух когерентных волн от поглощающей пластины конечной длины, помещенной в волновод произвольного поперечного сечения. Предполагается, что волны падают на пластину с двух сторон. Отметим, что решение поставленной задачи представляет интерес не только с точки зрения развития теории, но и с точки зрения возможности многообразного практического применения физических эффектов, возникающих при взаимодействии встречных электромагнитных волн в поглощающей пластине, помещенной в волновод [8,9].

1. Постановка задачи. Волновые уравнения для поперечного электрического и поперечного магнитного полей в волноводе

Пусть мы имеем регулярный волновод произвольного поперечного сечения, образующая которого совпадает с осью oz некоторой декартовой системы координат. В волновод помещена поглощающая немагнитная пластина ($\mu = 1$) с постоянной диэлектрической проницаемостью $\varepsilon \neq 1$ и толщиной d , занимающая область $-d/2 \leq z \leq d/2$. В остальной части волновода $\varepsilon = 1$ и $\mu = 1$. Рассмотрим распространение двух встречных когерентных поперечных электрических (ТЕ) и поперечных магнитных (ТМ) волн **a** и **b** с частотой ω и начальными фазами φ и θ в поглощающей пластине

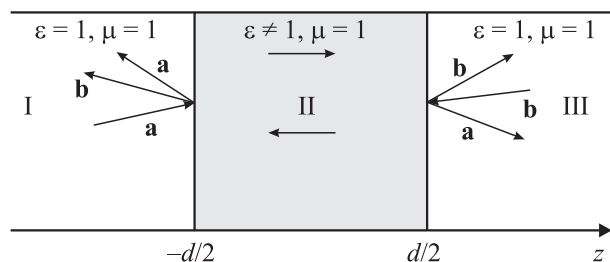
в волноводе, считая при этом, что волна **a** падает на пластину со стороны $z \leq -d/2$, а волна **b** — со стороны $z \geq d/2$ (см. рисунок).

Заметим, что если, как и в наших ранних работах (см., например, [10–12] и указанную в них литературу), ТЕ и ТМ поля в волноводе, полностью заполненном немагнитной поглощающей средой с диэлектрической проницаемостью ε , описывать с помощью продольных составляющих магнитного и электрического полей $H_z(x, y, z, t)$ и $E_z(x, y, z, t)$, то из уравнений Максвелла получим волновые уравнения для H_z и E_z в виде

$$\Delta_{\perp} H_z + \frac{\partial^2 H_z}{\partial z^2} - \frac{\varepsilon}{c^2} \frac{\partial^2 H_z}{\partial t^2} = \frac{4\pi\sigma}{c^2} \frac{\partial H_z}{\partial t}, \quad (1)$$

$$\Delta_{\perp} E_z + \frac{\partial^2 E_z}{\partial z^2} - \frac{\varepsilon}{c^2} \frac{\partial^2 E_z}{\partial t^2} = \frac{4\pi\sigma}{c^2} \frac{\partial E_z}{\partial t}, \quad (2)$$

где $\Delta_{\perp} = \partial^2/\partial x^2 + \partial^2/\partial y^2$ — двумерный оператор Лапласа, c — скорость света в вакууме, σ — электропроводность заполнения волновода.



Геометрия сечения волновода. На пластину падают встречные волны **a** и **b**.

Решения уравнений (1) и (2) ищем в виде разложений

$$H_z(x, y, z, t) = \sum_{n=0}^{\infty} H_n(z, t) \widehat{\Psi}_n(x, y) = \sum_{n=0}^{\infty} H_n(z) \exp(-i\omega t) \widehat{\Psi}_n(x, y), \quad (3)$$

$$E_z(x, y, z, t) = \sum_{n=0}^{\infty} E_n(z, t) \Psi_n(x, y) = \sum_{n=0}^{\infty} E_n(z) \exp(-i\omega t) \Psi_n(x, y), \quad (4)$$

где $\widehat{\Psi}_n(x, y)$ и $\Psi_n(x, y)$ — ортонормированные собственные функции соответственно второй и первой краевых задач для поперечного сечения волновода. Эти функции удовлетворяют уравнениям Гельмгольца с соответствующими граничными условиями на поверхности волновода (см. формулы (10) и (11) из работы [10]).

Подставляя (3) и (4) в (1) и (2) и учитывая (10) и (11) работы [10], получим следующие уравнения: для ТЕ поля

$$\frac{d^2 H_n(z)}{dz^2} + \widehat{P}_n^2 H_n(z) = 0, \quad \widehat{P}_n^2 = \frac{\omega^2}{c^2} \varepsilon - \widehat{\lambda}_n^2 + i \frac{4\pi\sigma\omega}{c^2}, \quad (5)$$

для ТМ поля

$$\frac{d^2 E_n(z)}{dz^2} + P_n^2 E_n(z) = 0, \quad P_n^2 = \frac{\omega^2}{c^2} \varepsilon - \lambda_n^2 + i \frac{4\pi\sigma\omega}{c^2}, \quad (6)$$

где $\widehat{\lambda}_n$ и λ_n — собственные значения второй и первой краевых задач для поперечного сечения волновода, соответствующих собственным функциям $\widehat{\Psi}_n(x, y)$ и $\Psi_n(x, y)$.

Решения (5) и (6) имеют вид

$$H_n(z) = \widehat{A}_n \exp(i\widehat{P}_n z), \quad E_n(z) = A_n \exp(iP_n z), \quad (7)$$

где \widehat{A}_n и A_n — известные комплексные амплитуды. Как видно из (5) и (6), волновые числа \widehat{P}_n и P_n являются комплексными величинами. Пусть $\widehat{P}_n = \widehat{\alpha}_n + i\widehat{\beta}_n$ и $P_n = \alpha_n + i\beta_n$. Тогда из (5) и (6) имеем

$$\widehat{\alpha}_n = \frac{1}{\sqrt{2}} \left[\sqrt{\left(\frac{\omega^2}{c^2} \varepsilon - \widehat{\lambda}_n^2\right)^2 + \frac{16\pi^2\sigma^2\omega^2}{c^4}} - \left(\frac{\omega^2}{c^2} \varepsilon - \widehat{\lambda}_n^2\right) \right]^{1/2}, \quad (8)$$

$$\widehat{\beta}_n = \frac{1}{\sqrt{2}} \left[\sqrt{\left(\frac{\omega^2}{c^2} \varepsilon - \widehat{\lambda}_n^2\right)^2 + \frac{16\pi^2\sigma^2\omega^2}{c^4}} + \left(\frac{\omega^2}{c^2} \varepsilon - \widehat{\lambda}_n^2\right) \right]^{1/2}, \quad (9)$$

$$\alpha_n = \frac{1}{\sqrt{2}} \left[\sqrt{\left(\frac{\omega^2}{c^2} \varepsilon - \lambda_n^2\right)^2 + \frac{16\pi^2\sigma^2\omega^2}{c^4}} + \frac{\omega^2}{c^2} \varepsilon - \lambda_n^2 \right]^{1/2}, \quad (10)$$

$$\beta_n = \frac{1}{\sqrt{2}} \left[\sqrt{\left(\frac{\omega^2}{c^2} \varepsilon - \lambda_n^2\right)^2 + \frac{16\pi^2\sigma^2\omega^2}{c^4}} - \left(\frac{\omega^2}{c^2} \varepsilon - \lambda_n^2\right) \right]^{1/2}. \quad (11)$$

2. Электромагнитные ТЕ и ТМ поля при распространении встречных волн в поглощающей пластине в волноводе

Теперь перейдем к решению поставленной в разд. 1 задачи. Заметим, что электромагнитные ТЕ и ТМ поля двух встречных волн **a** и **b** в различных областях волновода с учетом (7) можно представить в виде

$$\text{I область} \quad \left(z \leq -\frac{d}{2}, \quad \varepsilon = 1, \quad \mu = 1 \right).$$

$$H_n^I(z) = \widehat{A}_n^a \exp(i\widehat{\Gamma}_n z) + \widehat{D}_n^{ab} \exp(-i\Gamma_n z), \quad (12)$$

$$E_n^I(z) = A_n^a \exp(i\Gamma_n z) + D_n^{ab} \exp(-i\Gamma_n z), \quad (13)$$

где

$$\widehat{\Gamma}_n = \sqrt{\frac{\omega^2}{c^2} - \widehat{\lambda}_n^2}, \quad \Gamma_n = \sqrt{\frac{\omega^2}{c^2} - \lambda_n^2}, \quad (14)$$

$$\widehat{D}_n^{ab} = \widehat{B}_n^a + \widehat{C}_n^b, \quad D_n^{ab} = B_n^a + C_n^b, \quad (15)$$

$\widehat{A}_n^a = |\widehat{A}_n^a| \exp(i\varphi)$ и $A_n^a = |A_n^a| \exp(i\varphi)$ — известные комплексные амплитуды падающей на пластину волны **a**, \widehat{B}_n^a и B_n^a — неизвестные комплексные амплитуды отраженной от пластины в I область волны **a**, \widehat{C}_n^b и C_n^b — неизвестные комплексные амплитуды прошедшей в I область волны **b**.

$$\text{II область} \quad \left(-\frac{d}{2} \leq z \leq \frac{d}{2}, \quad \varepsilon = \text{const} \neq 1, \quad \mu = 1 \right).$$

$$H_n^{II}(z) = \widehat{F}_n^{ab} \exp(i\widehat{P}_n z) + \widehat{F}_n^{ab} \exp(-i\widehat{P}_n z), \quad (16)$$

$$E_n^{II}(z) = F_n^{ba} \exp(iP_n z) + F_n^{ba} \exp(-iP_n z), \quad (17)$$

где

$$\begin{aligned} \widehat{F}_n^{ab} &= \widehat{M}_n^a + \widehat{N}_n^b, & \widehat{F}_n^{ba} &= \widehat{M}_n^b + \widehat{N}_n^a, \\ F_n^{ab} &= M_n^a + N_n^b, & F_n^{ba} &= M_n^b + N_n^a, \end{aligned} \quad (18)$$

$\widehat{M}_n^a, M_n^a, \widehat{M}_n^b, M_n^b, \widehat{N}_n^a, N_n^a, \widehat{N}_n^b, N_n^b$ — неизвестные комплексные амплитуды волн в поглощающей пластине в волноводе.

$$\text{III область} \quad \left(z \geq \frac{d}{2}, \quad \varepsilon = 1, \quad \mu = 1 \right).$$

$$H_n^{\text{III}}(z) = \widehat{A}_n^b \exp(-i\widehat{\Gamma}_n z) + \widehat{D}_n^{ba} \exp(i\widehat{\Gamma}_n z), \quad (19),$$

$$E_n^{\text{III}}(z) = A_n^b \exp(-i\Gamma_n z) + D_n^{ba} \exp(i\Gamma_n z), \quad (20)$$

где

$$\widehat{D}_n^{ba} = \widehat{B}_n^b + \widehat{C}_n^a, \quad D_n^{ba} = B_n^b + C_n^a, \quad (21)$$

$\widehat{A}_n^b = |\widehat{A}_n^b| \exp(i\theta)$ и $A_n^b = |A_n^b| \exp(i\theta)$ — известные комплексные амплитуды падающей на пластину волны **b**, \widehat{B}_n^b и B_n^b — неизвестные комплексные амплитуды отраженной от пластины в III область волны **b**, \widehat{C}_n^a и C_n^a — неизвестные комплексные амплитуды прошедшей в III область волны **a**.

Теперь требуя, чтобы (12), (13), (16), (17), (19) и (20) удовлетворяли следующим граничным условиям при $z = \pm \frac{d}{2}$:

$$H_n^{\text{I}}(z) = H_n^{\text{II}}(z), \quad \frac{dH_n^{\text{I}}(z)}{dz} = \frac{dH_n^{\text{II}}(z)}{dz}, \quad (22)$$

$$E_n^{\text{I}}(z) = \varepsilon E_n^{\text{II}}(z), \quad \frac{dE_n^{\text{I}}(z)}{dz} = \frac{dE_n^{\text{II}}(z)}{dz}, \quad (23)$$

$$H_n^{\text{II}}(z) = H_n^{\text{III}}(z), \quad \frac{dH_n^{\text{II}}(z)}{dz} = \frac{dH_n^{\text{III}}(z)}{dz}, \quad (24)$$

$$\varepsilon E_n^{\text{II}}(z) = E_n^{\text{III}}(z), \quad \frac{dE_n^{\text{II}}(z)}{dz} = \frac{dE_n^{\text{III}}(z)}{dz}, \quad (25)$$

мы получим систему алгебраических уравнений для определения неизвестных амплитуд. Решение этой системы приводит к следующим выражениям для амплитуд волны **a**:

$$\widehat{B}_n^a = \frac{(\widehat{\Gamma}_n^2 - \widehat{P}_n^2) \exp(-i\widehat{\Gamma}_n d) [\exp(i\widehat{P}_n d) - \exp(-i\widehat{P}_n d)]}{\widehat{\Delta}_n} \widehat{A}_n^a, \quad (26)$$

$$B_n^a = \frac{(\varepsilon^2 \Gamma_n^2 - P_n^2) \exp(-i\Gamma_n d) [\exp(iP_n d) - \exp(-iP_n d)]}{\Delta_n} A_n^a, \quad (27)$$

$$\widehat{C}_n^a = -\frac{4\widehat{\Gamma}_n \widehat{P}_n \exp(-i\widehat{\Gamma}_n d)}{\widehat{\Delta}_n} \widehat{A}_n^a,$$

$$C_n^a = -\frac{4\varepsilon \Gamma_n P_n \exp(-i\Gamma_n d)}{\Delta_n} A_n^a, \quad (28)$$

$$\widehat{M}_n^a = -\frac{2\widehat{\Gamma}_n(\widehat{\Gamma}_n + \widehat{P}_n) \exp[i(\widehat{P}_n + \widehat{\Gamma}_n)\frac{d}{2}]}{\widehat{\Delta}_n} \widehat{A}_n^a, \quad (29)$$

$$M_n^a = -\frac{2\Gamma_n(\varepsilon\Gamma_n + P_n) \exp[-i(P_n + \Gamma_n)\frac{d}{2}]}{\Delta_n} A_n^a, \quad (30)$$

$$\widehat{N}_n^a = \frac{2\widehat{\Gamma}_n(\widehat{\Gamma}_n - \widehat{P}_n) \exp[i(\widehat{P}_n - \widehat{\Gamma}_n)\frac{d}{2}]}{\widehat{\Delta}_n} \widehat{A}_n^a, \quad (31)$$

$$N_n^a = \frac{2\Gamma_n(\varepsilon\Gamma_n - P_n) \exp[i(P_n - \Gamma_n)\frac{d}{2}]}{\Delta_n} A_n^a, \quad (32)$$

где

$$\widehat{\Delta}_n = (\widehat{\Gamma}_n - \widehat{P}_n)^2 \exp(i\widehat{P}_n d) - (\widehat{\Gamma}_n + \widehat{P}_n)^2 \exp(-i\widehat{P}_n d), \quad (33)$$

$$\Delta_n = (\varepsilon\Gamma_n - P_n)^2 \exp(iP_n d) - (\varepsilon\Gamma_n + P_n)^2 \exp(-iP_n d). \quad (34)$$

Выражения для амплитуд волны **b** отличаются от (26)–(32) тем, что в них вместо величин \widehat{A}_n^a и A_n^a будут присутствовать величины \widehat{A}_n^b и A_n^b . Это есть следствие того, что случай падения волны **a** на пластину слева симметричен случаю падения волны **b** на пластину справа.

Полученные выражения для амплитуд волн **a** и **b** позволяют найти коэффициенты отражения и прохождения по мощности. Вычисления приводят к следующим выражениям:

$$\begin{aligned} \widehat{R}_n &= \frac{\widehat{S}_{zn}^{\text{ref},a}}{\widehat{S}_{zn}^{\text{inc},a}} = \frac{|\widehat{B}_n^a|^2}{|\widehat{A}_n^a|^2} = \frac{\widehat{S}_{zn}^{\text{ref},b}}{\widehat{S}_{zn}^{\text{inc},b}} = \frac{|\widehat{B}_n^b|^2}{|\widehat{A}_n^b|^2} = \widehat{R}_n^b = \widehat{R}_n \\ &= \frac{\text{ch } 2\widehat{\beta}_n d - \cos 2\widehat{\alpha}_n d}{\text{ch}(\widehat{\eta}_n + 2\widehat{\beta}_n d) - \cos(\widehat{\gamma}_n - 2\widehat{\alpha}_n d)}, \end{aligned} \quad (35)$$

$$\begin{aligned} R_n^a &= \frac{S_{zn}^{\text{ref},a}}{S_{zn}^{\text{inc},a}} = \frac{|B_n^a|^2}{|A_n^a|^2} = \frac{S_{zn}^{\text{ref},b}}{S_{zn}^{\text{inc},b}} = \frac{|B_n^b|^2}{|A_n^b|^2} = R_n^b = R_n \\ &= \frac{\text{ch } 2\beta_n d - \cos 2\alpha_n d}{\text{ch}(\eta_n + 2\beta_n d) - \cos(\gamma_n - 2\alpha_n d)}, \end{aligned} \quad (36)$$

$$\begin{aligned} \widehat{T}_n^a &= \frac{\widehat{S}_{zn}^{\text{trans},a}}{\widehat{S}_{zn}^{\text{inc},a}} = \frac{|\widehat{C}_n^a|^2}{|\widehat{A}_n^a|^2} = \frac{\widehat{S}_{zn}^{\text{trans},b}}{\widehat{S}_{zn}^{\text{inc},b}} = \frac{|\widehat{C}_n^b|^2}{|\widehat{A}_n^b|^2} = \widehat{T}_n^b = \widehat{T}_n \\ &= \frac{8\widehat{\Gamma}_n^2(\widehat{\alpha}_n^2 + \widehat{\beta}_n^2)}{[(\widehat{\alpha}_n^2 + \widehat{\beta}_n^2 + \widehat{\Gamma}_n^2)^2 - 4\widehat{\alpha}_n^2 \widehat{\Gamma}_n^2] [\text{ch}(\widehat{\eta}_n + 2\widehat{\beta}_n d) - \cos(\widehat{\gamma}_n - 2\widehat{\alpha}_n d)]}, \end{aligned} \quad (37)$$

$$\begin{aligned} T_n^a &= \frac{S_{zn}^{\text{trans},a}}{S_{zn}^{\text{inc},a}} = \frac{|C_n^a|^2}{|A_n^a|^2} = \frac{S_{zn}^{\text{trans},b}}{S_{zn}^{\text{inc},b}} = \frac{|C_n^b|^2}{|A_n^b|^2} = T_n^b = T_n \\ &= \frac{8\varepsilon^2 \Gamma_n^2 (\alpha_n^2 + \beta_n^2)}{[(\alpha_n^2 + \beta_n^2 + \varepsilon^2 \Gamma_n^2)^2 - 4\alpha_n^2 \varepsilon^2 \Gamma_n^2] [\text{ch}(\eta_n + 2\beta_n d) - \cos(\gamma_n - 2\alpha_n d)]}, \end{aligned} \quad (38)$$

где

$$\begin{aligned} \text{tg } \widehat{\gamma}_n &= \frac{4\widehat{\beta}_n \widehat{\Gamma}_n (\widehat{\Gamma}_n^2 - \widehat{\alpha}_n^2 - \widehat{\beta}_n^2)}{(\widehat{\Gamma}_n^2 - \widehat{\alpha}_n^2 - \widehat{\beta}_n^2)^2 - 4\widehat{\beta}_n^2 \widehat{\Gamma}_n^2}, \\ \text{tg } \gamma_n &= \frac{4\beta_n \varepsilon \Gamma_n (\varepsilon^2 \Gamma_n^2 - \alpha_n^2 - \beta_n^2)}{(\varepsilon^2 \Gamma_n^2 - \alpha_n^2 - \beta_n^2)^2 - 4\beta_n^2 \varepsilon^2 \Gamma_n^2}, \end{aligned} \quad (39)$$

$$\begin{aligned} \operatorname{tg} \widehat{\eta}_n &= \frac{4\widehat{\alpha}_n \widehat{\Gamma}_n (\widehat{\Gamma}_n^2 + \widehat{\alpha}_n^2 + \widehat{\beta}_n^2)}{(\widehat{\Gamma}_n^2 + \widehat{\alpha}_n^2 + \widehat{\beta}_n^2)^2 + 4\widehat{\alpha}_n^2 \widehat{\Gamma}_n^2}, \\ \operatorname{tg} \eta_n &= \frac{4\alpha_n \varepsilon \Gamma_n (\varepsilon^2 \Gamma_n^2 + \alpha_n^2 + \beta_n^2)}{(\varepsilon^2 \Gamma_n^2 + \alpha_n^2 + \beta_n^2)^2 + 4\alpha_n^2 \varepsilon^2 \Gamma_n^2}. \end{aligned} \quad (40)$$

3. Поток электромагнитной энергии в областях I и III в волноводе

Выражения (19) и (20) позволяют с помощью вектора Умова–Пойнтинга найти усредненные по периоду колебаний потоки электромагнитной энергии ТЕ и ТМ волн в области III в волноводе. Вычисления приводят к следующему:

$$\begin{aligned} \widehat{S}_{zn}^{\text{III}} &= \frac{1}{8\pi} \frac{\omega \widehat{\Gamma}_n}{\widehat{\lambda}_n^2} |\widehat{C}_n^a|^2 \\ &+ \frac{1}{8\pi} \frac{\omega \widehat{\Gamma}_n}{\widehat{\lambda}_n^2} |\widehat{B}_n^b|^2 + \frac{1}{4\pi} \frac{\omega \widehat{\Gamma}_n}{\widehat{\lambda}_n^2} \operatorname{Re}(\widehat{C}_n^a \widehat{B}_n^b), \end{aligned} \quad (41)$$

$$\begin{aligned} S_{zn}^{\text{III}} &= \frac{1}{8\pi} \frac{\omega \Gamma_n}{\lambda_n^2} |C_n^a|^2 \\ &+ \frac{1}{8\pi} \frac{\omega \Gamma_n}{\lambda_n^2} |B_n^b|^2 + \frac{1}{4\pi} \frac{\omega \Gamma_n}{\lambda_n^2} \operatorname{Re}(C_n^a \overline{B}_n^b), \end{aligned} \quad (42)$$

где последние члены есть интерференционные потоки, возникающие в результате взаимодействия волн **a** и **b** в пластине, а величины \widehat{B}_n^b и \overline{B}_n^b есть комплексно сопряженные выражения \widehat{B}_n^b и \overline{B}_n^b . Итак имеем

$$\begin{aligned} \widehat{S}_{zn}^{\text{inter},ba} &= \frac{1}{4\pi} \frac{\omega \widehat{\Gamma}_n}{\widehat{\lambda}_n^2} \operatorname{Re}(\widehat{C}_n^a \widehat{B}_n^b), \\ S_{zn}^{\text{inter},ba} &= \frac{1}{4\pi} \frac{\omega \Gamma_n}{\lambda_n^2} \operatorname{Re}(C_n^a \overline{B}_n^b), \end{aligned} \quad (43)$$

$$\widehat{S}_{zn}^{\text{inc},a} = \frac{1}{8\pi} \frac{\omega \widehat{\Gamma}_n}{\widehat{\lambda}_n^2} |\widehat{A}_n^a|^2, \quad S_{zn}^{\text{inc},a} = \frac{1}{8\pi} \frac{\omega \Gamma_n}{\lambda_n^2} |A_n^a|^2, \quad (44)$$

$$\widehat{S}_{zn}^{\text{inc},b} = \frac{1}{8\pi} \frac{\omega \widehat{\Gamma}_n}{\widehat{\lambda}_n^2} |\widehat{A}_n^b|^2, \quad S_{zn}^{\text{inc},b} = \frac{1}{8\pi} \frac{\omega \Gamma_n}{\lambda_n^2} |A_n^b|^2. \quad (45)$$

Как и в работах [1,2], введем коэффициенты интерференционного прохождения по мощности $\widehat{T}_n^{\text{inter},ba}$ и $T_n^{\text{inter},ba}$ формулами

$$\frac{\sqrt{\widehat{S}_{zn}^{\text{inter},ba}}}{\sqrt{\widehat{S}_{zn}^{\text{inc},a} \cdot \widehat{S}_{zn}^{\text{inc},b}}} = \widehat{T}_n^{\text{inter}} \sin(\varphi - \theta + \widehat{\delta}), \quad (46)$$

$$\frac{\sqrt{S_{zn}^{\text{inter},ba}}}{\sqrt{S_{zn}^{\text{inc},a} \cdot S_{zn}^{\text{inc},b}}} = T_n^{\text{inter}} \sin(\varphi - \theta + \delta), \quad (47)$$

где

$$\begin{aligned} \widehat{T}_n^{\text{inter},ba} &= \sqrt{\widehat{T}_{1n}^2 + \widehat{T}_{2n}^2}, \quad T_n^{\text{inter}} = \sqrt{T_{1n}^2 + T_{2n}^2}, \\ \operatorname{tg} \widehat{\delta} &= \frac{\widehat{T}_{2n}}{\widehat{T}_{1n}}, \quad \operatorname{tg} \delta = \frac{T_{2n}}{T_{1n}}, \end{aligned} \quad (48)$$

$$\begin{aligned} \widehat{T}_{1n} &= -\frac{16\widehat{\Gamma}_n}{|\widehat{\Delta}_n|^2} \left[\widehat{\beta}_n (\widehat{\Gamma}_n^2 + |\widehat{P}_n|^2) \operatorname{sh}(\widehat{\beta}_n d) \cos(\widehat{\alpha}_n d) \right. \\ &\left. + \widehat{\alpha}_n (\widehat{\Gamma}_n^2 + |\widehat{P}_n|^2) \operatorname{ch}(\widehat{\beta}_n d) \sin(\widehat{\alpha}_n d) \right], \end{aligned} \quad (49)$$

$$\begin{aligned} T_{1n} &= -\frac{16\varepsilon \Gamma_n}{|\Delta_n|^2} \left[\beta_n (\varepsilon^2 \Gamma_n^2 + |P_n|^2) \operatorname{sh}(\beta_n d) \cos(\alpha_n d) \right. \\ &\left. + \alpha_n (\varepsilon^2 \Gamma_n^2 + |P_n|^2) \operatorname{ch}(\beta_n d) \sin(\alpha_n d) \right], \end{aligned} \quad (50)$$

$$\begin{aligned} \widehat{T}_{2n} &= -\frac{16\widehat{\Gamma}_n}{|\widehat{\Delta}_n|^2} \left[\widehat{\alpha}_n (\widehat{\Gamma}_n^2 - |\widehat{P}_n|^2) \operatorname{sh}(\widehat{\beta}_n d) \cos(\widehat{\alpha}_n d) \right. \\ &\left. - \widehat{\beta}_n (\widehat{\Gamma}_n^2 + |\widehat{P}_n|^2) \operatorname{ch}(\widehat{\beta}_n d) \sin(\widehat{\alpha}_n d) \right], \end{aligned} \quad (51)$$

$$\begin{aligned} T_{2n} &= -\frac{16\varepsilon \Gamma_n}{|\Delta_n|^2} \left[\alpha_n (\varepsilon^2 \Gamma_n^2 - |P_n|^2) \operatorname{sh}(\beta_n d) \cos(\alpha_n d) \right. \\ &\left. - \beta_n (\varepsilon^2 \Gamma_n^2 + |P_n|^2) \operatorname{ch}(\beta_n d) \sin(\alpha_n d) \right], \end{aligned} \quad (52)$$

Вычисляя $\widehat{T}_n^{\text{inter}}$ и T_n^{inter} по формулам (48) с учетом (49)–(52), получим

$$\begin{aligned} \widehat{T}_n^{\text{inter}} &= \\ &= \frac{8\widehat{\Gamma}_n \sqrt{(\widehat{\alpha}_n^2 + \widehat{\beta}_n^2) (\operatorname{ch} 2\widehat{\beta}_n d - \cos 2\widehat{\alpha}_n d)}}{\sqrt{2} \sqrt{(\widehat{\alpha}_n^2 + \widehat{\beta}_n^2 + \widehat{\Gamma}_n^2) - 4\widehat{\alpha}_n^2 \widehat{\Gamma}_n^2 \left[\operatorname{ch}(\widehat{\eta}_n + 2\widehat{\beta}_n d) - \cos(\widehat{\gamma}_n - 2\widehat{\alpha}_n d) \right]}}, \end{aligned} \quad (53)$$

$$\begin{aligned} T_n^{\text{inter}} &= \\ &= \frac{8\varepsilon \Gamma_n \sqrt{(\alpha_n^2 + \beta_n^2) (\operatorname{ch} 2\beta_n d - \cos 2\alpha_n d)}}{\sqrt{2} \sqrt{\alpha_n^2 + \beta_n^2 + \varepsilon^2 \Gamma_n^2 - 4\alpha_n^2 \Gamma_n^2 \left[\operatorname{ch}(\eta_n + 2\beta_n d) - \cos(\gamma_n - 2\alpha_n d) \right]}}. \end{aligned} \quad (54)$$

Как видно из (35)–(38), (53), (54), величины $\widehat{T}_n^{\text{inter}}$, T_n^{inter} , \widehat{R}_n , \widehat{T}_n , R_n , T_n удовлетворяют условию

$$\widehat{T}_n^{\text{inter}} = 2\sqrt{\widehat{T}_n \widehat{R}_n}, \quad T_n^{\text{inter}} = 2\sqrt{R_n T_n}. \quad (55)$$

Отметим, что аналогичный результат в случае неограниченного пространства получен и в работах [1,2].

Теперь из (41) и (42) с учетом (35)–(38), (46), (47) и (55) для потоков электромагнитной энергии в области III в волноводе получим

$$\begin{aligned} \widehat{S}_{zn}^{III} &= \widehat{S}_{zn}^{\text{ref},b} + \widehat{S}_{zn}^{\text{trans},a} + \widehat{S}_{zn}^{\text{inter},ba} \\ &= \frac{1}{8\pi} \frac{\omega \Gamma_n}{\lambda_n^2} \left[\widehat{T}_n |\widehat{A}_n^a|^2 + \widehat{R}_n |\widehat{A}_n^b|^2 \right. \\ &\quad \left. + 2 |\widehat{A}_n^a| |\widehat{A}_n^b| \sqrt{\widehat{R}_n \widehat{T}_n} \sin(\varphi - \theta + \widehat{\delta}) \right], \end{aligned} \quad (56)$$

$$\begin{aligned} S_{zn}^{III} &= S_{zn}^{\text{ref},b} + S_{zn}^{\text{trans},a} + S_{zn}^{\text{inter},ba} \\ &= \frac{1}{8\pi} \frac{\omega \Gamma_n}{\lambda_n^2} \left[T_n |A_n^a|^2 + R_n |A_n^b|^2 \right. \\ &\quad \left. + 2 |A_n^a| |A_n^b| \sqrt{R_n T_n} \sin(\varphi - \theta + \delta) \right]. \end{aligned} \quad (57)$$

Потоки электромагнитной энергии в области I в волноводе будут иметь вид

$$\begin{aligned} \widehat{S}_{zn}^I &= \widehat{S}_{zn}^{\text{ref},a} + \widehat{S}_{zn}^{\text{trans},b} + \widehat{S}_{zn}^{\text{inter},ab} \\ &= \frac{1}{8\pi} \frac{\omega \Gamma_n}{\lambda_n^2} \left[\widehat{R}_n |\widehat{A}_n^a|^2 + \widehat{T}_n |\widehat{A}_n^b|^2 \right. \\ &\quad \left. + 2 |\widehat{A}_n^a| |\widehat{A}_n^b| \sqrt{\widehat{R}_n \widehat{T}_n} \sin(\varphi - \theta + \delta) \right], \end{aligned} \quad (58)$$

$$\begin{aligned} S_{zn}^I &= S_{zn}^{\text{ref},a} + S_{zn}^{\text{trans},b} + S_{zn}^{\text{inter},ab} \\ &= \frac{1}{8\pi} \frac{\omega \Gamma_n}{\lambda_n^2} \left[R_n |A_n^a|^2 + T_n |A_n^b|^2 \right. \\ &\quad \left. + 2 |A_n^a| |A_n^b| \sqrt{R_n T_n} \sin(\varphi - \theta + \delta) \right]. \end{aligned} \quad (59)$$

Анализ выражений (56)–(59) приводит к следующим результатам:

1. Если $\varphi - \theta + \widehat{\delta} = -\frac{\pi}{2}$, $\varphi - \theta + \delta = -\frac{\pi}{2}$ и $\frac{|\widehat{A}_n^b|}{|\widehat{A}_n^a|} = \frac{\widehat{T}_n}{\widehat{R}_n}$, $\frac{|A_n^b|}{|A_n^a|} = \frac{T_n}{R_n}$, то

$$\widehat{S}_{zn}^{III} = 0, \quad S_{zn}^{III} = 0, \quad \widehat{S}_{zn}^I \neq 0, \quad S_{zn}^I \neq 0. \quad (60)$$

2. Если $\theta - \varphi + \widehat{\delta} = -\frac{\pi}{2}$, $\theta - \varphi + \delta = -\frac{\pi}{2}$ и $\frac{|\widehat{A}_n^b|}{|\widehat{A}_n^a|} = \frac{\widehat{R}_n}{\widehat{T}_n}$, $\frac{|A_n^b|}{|A_n^a|} = \frac{R_n}{T_n}$, то

$$\widehat{S}_{zn}^I = 0, \quad S_{zn}^I = 0, \quad \widehat{S}_{zn}^{III} \neq 0, \quad S_{zn}^{III} \neq 0. \quad (61)$$

Заключение

Резюмируя полученные выше результаты, приходим к выводу, что выбором соответствующим образом начальных фаз φ, θ и фазовых сдвигов $\widehat{\delta}, \delta$ встречных волн,

а также амплитуд этих волн можно достичь того, что в области I вне пластины будут присутствовать потоки электромагнитной энергии ТЕ и ТМ волн, а в области III вне пластины они будут отсутствовать, или наоборот. Другими словами, появляется возможность управления электромагнитными потоками встречных волн, проходящих через поглощающую пластину в волноводе. Интерференция встречных волн при их распространении в поглощающей пластине, в результате которой возникает туннельный интерференционный поток энергии (см. [3]), может иметь широкие применения при создании различных радиофизических устройств и при проведении различных измерений.

Список литературы

- [1] Сидоренков В.В., Толмачев В.В. // Письма в ЖТФ. 1989. Т. 15. Вып. 21. С. 34–37.
- [2] Сидоренков В.В., Толмачев В.В. // Письма в ЖТФ. 1990. Т. 16. Вып. 3. С. 20–25.
- [3] Сидоренков В.В., Толмачев В.В., Федотова С.В. // Известия РАН. Сер. физическая. 2001. Т. 65. № 12. С. 1176–1182.
- [4] Сидоренков В.В., Толмачев В.В. <http://www.scitsclibrary.ru/texts/rus/stat/st.2251.pdf>.
- [5] Афанасьев С.А., Семенов Д.И. // ЖТФ. 1997. Т. 67. Вып. 10. С. 77–80.
- [6] Астахов П.В., Митюрин Г.С. // Письма в ЖТФ. 1998. Т. 24. Вып. 15. С. 85–89.
- [7] Санников Д.Г., Семенов Д.И. // Письма в ЖТФ. 2007. Т. 33. Вып. 23. С. 19–26.
- [8] Сидоренков В.В., Толмачев В.В. // Вестник МГТУ. Сер. Приборостроение. 1992. № 1. С. 43–56.
- [9] Колоколов А.А., Скороцкий Г.В. // УФН. 1992. Т. 162. № 12. С. 165–174.
- [10] Геворкян Э.А. // Успехи современной радиоэлектроники. 2006. № 1. С. 3–29.
- [11] Геворкян Э.А. // ЖТФ. 2006. Т. 76. Вып. 5. С. 134–137.
- [12] Геворкян Э.А. // Радиотехника и электроника. 2008. Т. 53. № 5. С. 565–569.